

• 研究简报 •

# 对二次函数切割的分形研究<sup>①</sup>

帅建伟 陈振湘 刘瑞堂 吴伯僖

(物理学系)

近十年来,分形<sup>[1]</sup>已成为一个世界性的研究热点.正如我们对简单的函数  $y=\mu x(1-x)$  进行分析,可得出复杂的混沌现象来一样;通过对某一区间  $[a,b]$  上的任一曲线进行一系列的分割也可以得出复杂的分形图象,如对二次函数  $y=x^2$  的分析可以得出典型的 Cantor 分形图象<sup>[2]</sup>.本文在文献[2]的基础上,进一步深入详细地分析了对二次函数  $y=Ax^2+Bx+C$  切割所蕴含的分形规律.

## 1 数学准备

我们把文献[2]的定理(2)推广得如下定理:

**定理** 假定  $f$  是在  $[a,b]$  上的连续函数,则存在一系列的  $t_1, t_2, \dots, t_n, \dots$  ( $t_n \in [a,b]$ ,  $n$  为大于1的实数),使得

$$\frac{f(b)-f(a)}{b-a} = \frac{f(t_n+(b-a)/n)-f(t_n)}{(b-a)/n} \quad (1)$$

对上述定理的几何理解如图1,  $\frac{f(b)-f(a)}{b-a}$  实际是过点  $(a, f(a))$ 、 $(b, f(b))$  的直线  $L$  和斜率,作直线  $L$  的平行线  $L_n$ ,与  $f(x)$  有两个交点,两交点在  $x$  轴上有:  $t_n' - t_n = (b-a)/n$ ,  $n > 1$ ,表示在  $x$  轴上两点的长度为原长  $(b-a)$  的  $n$  分之一倍.当平行线与  $f(x)$  相切时,则得微分中值定理所求得的过  $(x_0, f(x_0))$  的切线  $L_\infty$ .

这样对在  $[a,b]$  上连续,且在  $(a,b)$  上只有一个极值的函数  $f$ ,可进行如下的自相似操作过程:对某一固定的  $n$ ,直线  $L_n$  把曲线切为三段,去掉中间一段曲线  $(t_n, t_n+(b-a)/n)$ ;对余下的两段曲线再进行同样的切割,这样无穷分割下去,则得函数  $f$  在  $x$ 、 $y$  轴上的投影分形集合.下面我们对二次函数的这一自相似切割以及在  $x$  轴上的投影进行分析.

## 2 二次曲线切割的分形研究

对任意的二次函数:  $y=Ax^2+Bx+C$ ,利用公式(1),经过简单的计算可得

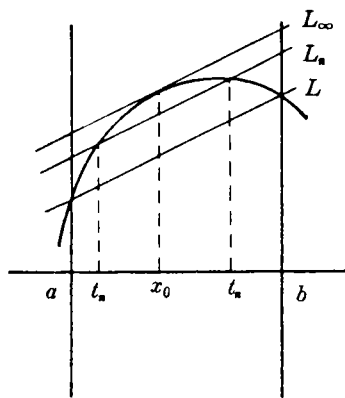


图1 推广的中值定理的几何理解  
Fig. 1 The geometric representation of the generalised differential mean value theorem

① 本文1994-03-08收到

$$t_n = \frac{1}{2} \left[ (b+a) - \frac{(b-a)}{n} \right] \quad (2)$$

由前面分析知,  $(b-a)/n$  表示在  $x$  轴上所切割的长度,  $1/n$  即是所切割的倍数, 而所切割的区间为  $\{(\frac{1}{2}[(b+a) - \frac{b-a}{n}], \frac{1}{2}[(b+a) + \frac{b-a}{n}])\}$ , 恰好是区间  $(a, b)$  的中间段. 因此这一自相似操作过程为: 对  $x$  轴的初始棒移去中间  $1/n$  部分, 剩余下两侧对称较短的棒, 长度为原棒的  $(1 - 1/n)/2$ , 再对每根短棒实施同样的分割直至无穷. 这一自相似操作过程所得到的正好是 Cantor 棒, 该结构的分维值为

$$D = \frac{\ln 2}{\ln \left[ \frac{2}{1 - 1/n} \right]} \quad (3)$$

当  $n=3$  时则得熟悉的三等分的 Cantor 棒, 其分维值  $D = \ln 2 / \ln 3$ ; 考虑极端情况  $n=1$  时, 第一次就截去了  $(a, b)$  区间, 只剩  $a, b$  两点, 自然其分维值为 0; 当  $n \rightarrow \infty$  时, 平行线无限靠近切线  $f(x_0)$ , 仅切去  $x_0$  点处的  $dx \rightarrow 0$  长的微开区间, 这种无限小分割所得到的集合为一条处处有点而又处处不连续的‘直线’, 其分维值  $D \rightarrow 1$ .

若我们对二次函数轮流用  $n_1, n_2 (n_1, n_2 > 1)$  进行循环切割, 对  $x$  轴上的投影, 在  $n_1$  分割中截去了原棒的  $1/n_1$ , 在  $n_2$  分割中截去原棒的  $1/n_2$ . 这种循环分割得到了一种推广的 Cantor 棒, 该结构的分维值为

$$D = \frac{\ln 2}{\ln \left\{ \frac{2}{[(1 - \frac{1}{n_1})(1 - \frac{1}{n_2})]^{1/2}} \right\}} \quad (4)$$

同理可进行  $m$  次循环分割  $n_1, n_2, \dots, n_m$ , 这样推广所得的 Cantor 棒的分维值为

$$D = \frac{\ln 2}{\ln \left\{ \frac{2}{[\prod_{i=1}^m (1 - 1/n_i)]^{1/m}} \right\}} \quad (\text{其中 } n_i > 1) \quad (5)$$

由式(2)知,  $t_n$  与二次函数的系数  $A, B, C$  无关, 从而得到对二次函数切割的另一性质: 在同一区内用固定  $n$  切割任意二次曲线, 在  $x$  轴上投影都一样, 且位于该区间的中央. 这一性质也是很让人惊讶的, 因为在我们直觉中会认为存在无数条二次曲线过固定的两点  $(a, y_a), (b, y_b)$ , 作该两点边线的平行线, 切这些二次曲线为三截, 当中间一段在  $x$  轴的投影长度为  $(b-a)/n$  时, 该投影在  $x$  轴上应具有一定的分布, 而实际上投影总是重合在同一区间  $(\frac{1}{2}[(b+a) - \frac{b-a}{n}], \frac{1}{2}[(b+a) + \frac{b-a}{n}])$ . 所以在同一区间用固定  $n$  对所有二次曲线切割, 得到一个带状 Cantor 分形图. 不难看出, 这一结果是由下述事实造成的: 过两固定点虽有无数条二次曲线, 但实际上只有一个可调参数, 所以对二次曲线的几何形式具有很强的约束. 对高次函数, 由于可调参数增加了, 曲线变得更加复杂, 导致切割线在  $x$  轴的投影随系数而变的结果. 图 2 和图 3 画出了  $n=3$  时在  $[0, 1]$  区间的一些二次和高次曲线的切割情况.

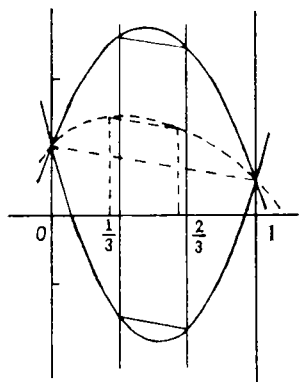


图 2 当  $n=3$  时在  $[0,1]$  区间过相同两点的曲线的切割情况

实线表示二次函数, 虚线为高次函数

Fig. 2 The cutting analysis of the curves that pass the same two spots on interval  $[0,1]$ , where  $n=3$

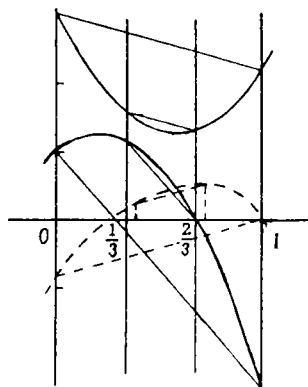


图 3 当  $n=3$  时在  $[0,1]$  区间过不同两点曲线的切割情况

实线表示二次函数, 虚线为高次函数

Fig. 3 The cutting analysis of the curves that pass the different two spots on interval  $[0,1]$ , where  $n=3$

### 参 考 文 献

- 1 Mandelbrot B B. *The Fractal Geometry of Nature*. San Francisco: Freeman, 1982
- 2 DeVito C L et al, Fractal sets associated with functions: The spectral lines of hydrogen. *Physical Review A*, 1988, 38: 6 363~6 364

## A Fractal Investigation of the Quadratic Function Cutting

Shuai Jianwei      Chen Zhenxiang

Liu Ruitang      Wu Boxi

(Dept. of Phys.)

**Abstract** Basing on the generalized differential mean value theorem, the author discuss in detail the properties of the Cantor set that is projected on the x-axis about the quadratic curve  $f(x)=Ax^2+Bx+C$ .

**Key words** The quadratic function, Fractal, Cantor set